

# LASER: 자동화된 어플리케이션 레벨의 Signature 생성과 검증 방법

\*박병철, \*원영준, \*\*김명섭, \*홍원기  
\*포항공과대학교 컴퓨터공학과, \*\*고려대학교 컴퓨터공학과  
\*{fates,yjwon,jwkhong}@postech.ac.kr, \*\*tmskim@korea.ac.kr

## LASER: Automated Application Signature Generation and Evaluation Methodology

\*Byung-chul Park, \*Young J. Won, \*\*Myung-Sup Kim, and \*James W. Hong  
\*POSTECH, \*\*Korea Univ.

### 요 약

현재까지 가장 전통적인 트래픽 분류는 미리 정의된 well-known 포트와 비교하는 방법을 통해 이루어져왔지만 이러한 분석 방법은 더 이상 높은 정확도를 보장하지 못하고 있다. 대체 방법인 어플리케이션 레벨의 signature 비교 방법은 더 높은 정확도를 제공하지만 신뢰도가 높은 signature 를 찾기 위해 트래픽에 대해 수작업에 의한 철저한 탐색이 요구된다. 어플리케이션 프로토콜에 대한 정보가 사전에 제공된다면 높은 신뢰도의 signature 를 생성할 수 있지만 많은 어플리케이션들이 독자적인 프로토콜을 사용하게 됨에 따라 많은 시간이 소요되는 수작업에 의한 signature 생성작업을 피할 수 없게 되었다. 본 논문에서는 어플리케이션 프로토콜에 대한 정보가 없이도 어플리케이션 레벨의 signature 를 자동적으로 생성할 수 있는 LASER 알고리즘과 해당 signature 의 정확도를 검증할 수 있는 방법을 제시하고 이를 통해 LASER 가 효율적인 방법으로 높은 정확도의 signature 를 생성함을 보인다.

### I. 서론

오늘날 인터넷 트래픽의 급격한 변화로 포트 기반의 트래픽 분류와 같은 기존의 전통적인 트래픽 분류 기술은 더 이상 높은 정확도를 제공하지 못하게 되었다. 최근 들어 웹(인터넷) storage 와 Peer-to-Peer (P2P) 파일 공유 어플리케이션들의 종류가 급격하게 증가하였고, 이러한 트래픽이 전체 인터넷 트래픽의 많은 부분을 차지하고 있다[1]. 특히 최신의 P2P 어플리케이션들은 동적인 포트 할당과 같은 방법을 통해 detection 과 filtering 을 피하고 있다. 하지만 포트 기반의 분석 방법 backbone 네트워크의 트래픽 양이나 computing 리소스 때문에 현재에도 많이 사용되고 있으며 이러한 방법으로는 정확한 어플리케이션 분석이 이루어질 수 없다.

Signature 기반의 트래픽 분류 방법은 기존의 분류방법들이 갖는 부정확성을 개선하기 위한 대체 방법으로 제안되었다[2][3]. 어플리케이션 signature 는 어플리케이션을 구분 지을 수 있는 패킷 payload 상의 특정한 string 이나 hex 값으로 이루어진다. 어플리케이션 signature 는 수작업을 통해 생성되어 왔으며 이는 어플리케이션 프로토콜에 대한 사전조사나 패킷 payload 에 대한 분석이 요구된다. 사람의 판단이 필요한 이와 같은 작업은 새로운 어플리케이션의 signature 를 생성할 때 많은 시간을 필요로 한다. 따라서 좀더 효율적인 방법으로 signature 를 생성할 수 있는 체계적인 방법이 요구된다.

본 논문은 프로토콜에 대한 정보 없이 패킷 payload 상의 패턴을 찾아 signature 를 생성할 수 있는 LCS (Longest Common Subsequence)기반의 LASER (LCS-based Application Signature ExtRaction) 알고리즘을 제안한다. 또한 LASER 를 통해 생성한 signature 의 정확도를 검증할

수 있는 방법을 제시하고 이를 통해 LASER 알고리즘의 효율성과 정확성을 검증한다. 본 논문의 구성은 다음과 같다. II 장에서는 관련연구들과 우리의 선행 연구를 소개한다. III 장에서는 자동으로 signature 를 생성할 수 있는 알고리즘에 대해 간략히 설명한다. IV 장에서는 III 장에서 설명한 알고리즘으로 생성한 어플리케이션 signature 의 정확도를 검증하며 마지막으로 V 장에서 결론과 향후 연구에 대하여 기술한다.

### II. 관련 연구

어플리케이션 signature 를 이용한 트래픽 분류에 관한 기존의 연구들은 [2][3] 자체적으로 생성한 signature 를 통해 어플리케이션 트래픽의 분석력을 제시하지만 signature 를 생성하는 방법이나 그 signature 자체의 정확도에 대한 검증은 중요하게 언급하고 있지 않다.

Signature 기반의 트래픽 분류는 웹 탐지를 위한 IDS (Intrusion Detection System) 등에서 주로 사용되어왔다[4]. 이러한 연구들은 웹 signature 를 자동으로 생성할 수 있는 시스템의 개발에 대해 기술하고 있지만 웹 signature 와 일반적인 어플리케이션의 signature 의 각각의 독특한 특징과 차이점 때문에 웹 탐지 시스템에 적용된 방법을 일반적인 어플리케이션 signature 의 생성에 적용하기가 어렵다[5].

우리는 선행 연구[5]에서 IDS 와 일반적인 트래픽 분류시스템의 차이점을 지적하고 웹과 일반 어플리케이션의 signature 가 갖는 차이점을 분석하여 제시하였다. 또한 기존 연구들에서 정의한 다양한 어플리케이션의 signature 포맷을 정리하였다. 이러한 분석을 통해 LCS[5][6] 알고리즘을 활용하여 가장 포괄적인 signature 의 포맷인 sequence of common substring 형태의 signature 를 생성할 수 있는 시스템을 개발하고 알고리즘

의 효율성에 대한 검증을 제시하였다. 본 논문은 알고리즘의 효율성이 아닌 LASER 알고리즘이 생성한 signature의 정확성 검증에 초점을 두고 있다.

### III. LASER 알고리즘을 통한 signature 생성

#### 알고리즘 1. LASER 를 이용한 signature 생성

```

1: procedure Signature_Generation ()
2: Flow_Pool {F1[...Fx]} ← Santized_packet_collector
3: F1[ ] ← Iterate, packet dump for Flow 1
4: F2[ ] ← Iterate, packet dump for Flow 2
5: while i from 0 to #_packet_constraint do
6:   while j from 0 to #_packet_constraint do
7:     if |F1[i].packet_size - F2[j].packet_size| < threshold
8:       result_LCS ← LASER (F1[i], F2[j])
9:       LCS_Pool {} ← Append result_LCS, end if
10:      j++, end while
11:    i++, end while
12:    S ← select the longest from LCS_Pool
13:    while i from 0 to # of rest flows of Flow_Pool do
14:      Fi ← select one from the rest of Flow_Pool
15:      result_LCS ← LASER (S, Fi)
16:      S ← select the longest from result_LCS
17:    i++, end while, end while
18: return S

19: procedure LASER (PacketA[1...m], PacketB[1...n])
20: PacketA [m...1] ← Reverse byte stream
21: PacketB [n...1] ← Reverse byte stream
22: Matrix [m][n]
23: while i from 0 to m do
24:   while j from 0 to n do
25:     if i = 0 or j = 0, then Matrix [i][j] ← 0
26:     else if PacketA [i] = PacketB [j], then
27:       Matrix [i][j] ← 'Diagonal'
28:     else if Matrix[i][j] != p[i][j-1], then
29:       Matrix[i][j] ← 'Up'
30:     else Matrix[i][j] ← 'Left', end while
31:   end while
32: i ← m-1; j ← n-1 //Tracking
33: while Matrix[i][j] != 0 do
34:   if Matrix[i][j] = 'Left', then j--
35:   else if Matrix[i][j] = 'Up', then i--
36:   else if Matrix[i][j] = 'Diagonal', then do
37:     Substring ← Append PacketA[i]
38:     if Matrix[i-1][j-1] != 'Diagonal', then
39:       Append special break point character (e.g. '/')
40:   i--, j--, end while
41: while tokenizing substring based on break point do
42:   if token_length > substring_length_constraint
43:     then, result_LCS ← Append token_substring,
44:   end while
45: return result_LCS

```

알고리즘 1 은 LASER 알고리즘과 signature 생성의 전체적인 과정을 기술한 것이다. Signature 생성을 위한 타깃 어플리케이션의 트래픽은 동일한 5-tuple 정보를 갖는 패킷의 집합인 flow 로 수집된다. Signature 생성의 첫 번째 반복과정의 입력값으로 서로 다른 두 flow F<sub>1</sub> 과 F<sub>2</sub> 가 사용되며 LASER 알고리즘의 입력값으로는 각각 F<sub>1</sub> 과 F<sub>2</sub> 에 속해있는 서로 다른 패킷 payload 의 byte stream 이 사용된다 (Line 8).

그림 1 은 하나의 flow 에 해당하는 packet 수에 대한 제약사항 (Line 5, 6)과 패킷 크기에 대한 제약사항 (Line 7)이 적용된 후의 과정을 설명하고 있다. LimeWire 에서

발생된 두 개의 패킷을 나타내고 있는데, Gnutella 계열의 클라이언트인 Morpheus 의 사용자가 LimeWire 의 클라이언트에게 보내는 byte stream 의 일부이다. 그림의 candidate signature 는 이 두 byte stream 중 불필요한 string 들이 LASER 알고리즘에 의해 제거된 결과를 다음과 같이 보여주고 있다: 'HTTP 200 OK Server: \* e \* Content-type: \* e \*'

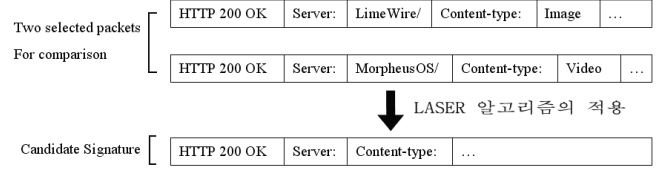


그림 1. 서로 다른 두 LimeWire 패킷에 LASER 알고리즘의 적용

하지만 'e'와 같은 substring 은 signature 로써 의미를 갖기에는 길이가 짧기 때문에 substring 의 길이에 대한 제약사항 (Line 42)를 통해 이와 같은 string 은 제거된다. 한번의 반복을 통해 생성된 candidate signature 는 단 2 개의 flow 만을 이용하였기 때문에 (Line 1-12) 불필요한 string 들이 포함되어 있을 수가 있다. 예를 들어 HTTP protocol 을 사용하는 application 들에서 자주 나타나는 'HTTP 200 OK'와 같은 string 은 signature 로써 변별력이 떨어지기 때문에 signature refinement 과정을 필요로 한다.

Signature refinement 과정은 더 많은 flow 의 sample set 을 입력으로 하여 LASER 알고리즘의 반복적인 적용을 통해 candidate signature 상의 IP 주소, URL 등과 같은 무의미하거나 불필요한 string 들을 제거하는 과정을 의미한다. 첫 번째 반복으로 생성된 candidate signature 는 새로운 flow 와 함께 LASER 알고리즘의 입력으로 다시 사용된다(Line 12-17). 알고리즘의 반복이 계속 됨에 따라 candidate signature 상의 불필요한 substring 들은 제거되며 이러한 반복은 candidate signature 가 더 이상 변화하지 않을 때까지 반복된다. 궁극적으로 많은 반복을 통해 좀 더 간략하고 정확한 signature 가 생성되며 이러한 과정은 다음과 같이 간략히 표현될 수 있다.

*Candidate\_signature\_1 = Signature (Flow 1, Flow 2)*  
*Candidate\_signature\_2 = Signature (Flow 3, Candidate\_signature\_1)*  
 ...  
*Candidate\_signature\_n = Signature (Flow n+1, Candidate\_signature\_n-1)*

*If Candidate\_signature\_n = Candidate\_signature\_n-1*  
*For the certain iteration counts then*  
*Candidate\_signature\_n is the final signature*

### IV. LASER 알고리즘과 Signature 의 검증

우리는 LASER 알고리즘을 통해 생성된 signature 의 정확성을 검증하기 위해 3 가지의 P2P 어플리케이션 (LimeWire, BitTorrent, Fileguri)을 선정하였다. LimeWire 와 BitTorrent 는 전세계적으로 매우 널리 사용되고 있는 파일공유 어플리케이션이며 Fileguri 역시 국내에서 가장 많이 사용되고 있는 P2P 어플리케이션 중의 하나로 기존의 signature 기반의 트래픽 분류 연구[3][7][8]에서 사용되었던 어플리케이션들이다.

#### 1. 정확도 판단을 위한 Metrics

Signature 의 정확도를 판단하기 위해 3 가지의 metric 을 정의하였다.

- **False Positive (FP):** application 의 signature 가 non-application traffic 을 application traffic 으로 분류하는 error 를 측정하는 metric

$$FP = \frac{\text{Non-application traffic classified as application traffic}}{\text{Total application traffic}}$$

- **False Negative (FN):** application 의 signature 가 application 의 traffic 을 non-application traffic 으로 분류하는 error 를 측정하는 metric

$$FN = \frac{\text{Application traffic classified as non-application traffic}}{\text{Total application traffic}}$$

- **Overall Accuracy (OA):** OA 는 특정 signature 의 정확도 뿐만 아니라 모든 signature 들을 포괄한 트래픽 분류 결과의 전체적인 정확도를 판단한다. 이 metric 은 FP, FN 뿐만 아니라 각 signature 들 간의 충돌까지 판단할 수 있는 기준을 제공한다.

$$OA = \frac{\text{Total traffic} - (\text{Total FP traffic} + \text{Total FN traffic})}{\text{Total traffic}}$$

앞의 두 metric 들은 모두 잘못된 분석결과의 ratio 를 나타내며 마지막 metric 은 모든 signature 를 적용하여 분석한 트래픽 분류결과의 정확도를 판단하는 것으로 어플리케이션 signature 의 정확도와 신뢰도가 높다고 결론을 내리기 위해서는 낮은 FP 와 FN ratio 와 높은 OA 가 필요하다.

## 2. 트래픽의 수집과 검증 방법

우리는 POSTECH 의 backbone 에서 collect 한 전체 packet trace 를 분석하였다. POSTECH 의 network 는 3000 여명의 구성원이 사용하는 Gigabit Ethernet 으로 어떠한 port 도 block 되지 않으며 다양한 P2P 어플리케이션을 포함한 일반적인 Internet 트래픽으로 이루어져있다. 트래픽은 2007 년 8 월 16 일에 3 시간 동안 수집되었으며 전체 트래픽의 양은 약 450 Gbytes 이다.

수집된 트래픽을 signature 기반의 트래픽 분류 시스템을 통해 분류하여도 분류결과의 정확성을 정확히 판단할 수 없다면 이를 통해 얻은 통계는 신뢰할 수가 없다. 제 2 장의 기존 연구들에서는 이를 계산하기 위하여 수작업을 통해 패킷 내용을 하나하나 분석하거나 port 기반의 트래픽 분류 방법을 이용하여 얻은 결과를 ground truth 로 가정하여 ratio 를 계산하였다. 또 다른 방법으로 isolate 된 test bed 에서 어플리케이션을 실행하여 발생한 트래픽을 수집하여 FN 을 계산하기도 한다. 어떤 연구는 P2P traffic 이 존재하지 않을 것으로 가정되는 VPN (Virtual Private Network)의 traffic 을 사용한다. 하지만 이러한 방법들은 기존에 정확성에 대한 문제를 갖고 있는 port 기반의 분석 방법이나 가정에 의존하기 때문에 정확한 FN/FP 값을 얻기 힘들다.

위와 같은 문제점을 해결하고 좀더 정확한 수치를 확인하기 위해 TMA (Traffic Measurement Agent)를 개발하였다. TMA 는 Windows 기반의 클라이언트에 설치되어 클라이언트에서 발생하는 모든 트래픽에 대하여 로그를 남기는 기능을 수행한다. Windows system call 을 사용하여 발생하는 모든 패킷에 대하여 어떠한 어플리케이션 (프로세스)에서 생성된 패킷인지를 기록하기 때문에 트래픽 분류 결과를 TMA 의 로그와 비교할 경우 정확한 FN/FP 를 얻을 수 있다. 그림 2 는 TMA 의 역할을 간략히 보여준다. 캠퍼스의 edge 클라이언트에 TMA 를 설치하여 각각의 클라이언트들이 발생하는 트래픽에 대한 로그를 남긴다. TMA 로그 서버는 모든 TMA 에서 발생한 로그를 갖고 있

으며 이는 앞서 설명한 바와 같이 트래픽 분류 시스템이 분석한 결과의 정확도를 판단할 수 있는 비교 자료로 활용된다. 이러한 TMA 는 본 논문의 연구 주제인 signature 기반의 트래픽 분류뿐만 아니라 다른 모든 트래픽 분류 방법의 의 정확도를 측정하는데 활용되어 정확한 자료를 제공할 수 있다.

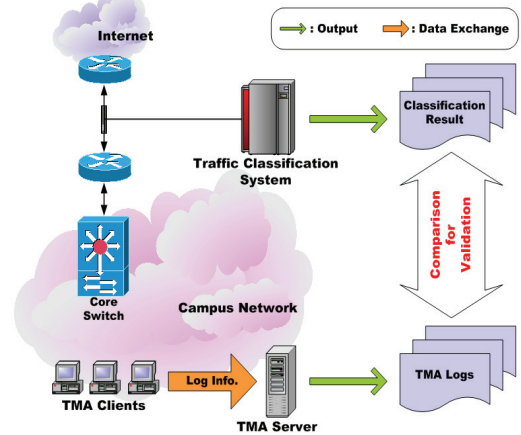


그림 2. TMA 의 활용

## 3. Evaluation Result

2 개의 클라이언트에 TMA 를 설치하고 정확도 측정에 사용할 3 가지 어플리케이션 (Limewire, BitTorrent, Fileguri)이외에도 다양한 네트워크 어플리케이션을 실행시킨 후 backbone 에서 트래픽을 수집하는 동시에 클라이언트에서 발생한 트래픽에 대한 로그를 남겼다. 그리고 backbone 에서 수집된 트래픽 중 TMA 가 설치된 두 개의 IP 에서 발생한 트래픽만을 따로 분류해낸 후 이 트래픽에 signature 를 적용하여 분류 작업을 수행하였다. TMA 가 설치된 클라이언트에서 직접 트래픽을 수집하지 않고 backbone 에서 수집한 이유는 다음과 같다. 많은 패킷들이 backbone 을 통과할 때 packet 순서의 reordering 이나 비대칭 라우팅등의 영향을 받게 된다. 많은 트래픽 분류 시스템들은 backbone 네트워크의 링크에 설치됨을 고려할 때에 end 호스트에서 수집한 트래픽을 그대로 사용할 경우 앞에서 설명한 traffic 의 변화를 제대로 반영할 수 없기 때문이다. 표 1 은 분석 결과를 보여주고 있다.

표 1. 트래픽 분류와 정확도 분석 결과

Application	TMA Log (MB)	Classification Result (MB)	FN(%)	FP (%)
LimeWire	1223.36	1120.35	8.42	0
BitTorrent	4190.07	3754.30	10.40	0
Fileguri	3189.61	3177.17	0.39	0
Others	12482.69	13033.91	-	-
Total	21085.73MB		-	-
Overall Accuracy	97.39 (%)			

- **FP 분석:** Signature 의 포맷이 substring 들의 sequence[5]를 이루는 엄격한 형태이기 때문에 다른 어플리케이션의 트래픽을 잘못 분류하지 않는 것을 확인할 수 있다. 한가지 주목할 점은 others 에 해당하는 트래픽에는 Internet Explorer 에서 발생한 HTTP 트래픽이 많이 포함되어 있음에도 LimeWire 나 Fileguri 로 분류되지 않았다는 것이다. 물론 signature 에 포함된 'HTTP'라는 substring 이 공통적이긴 하지만 나머지 substring 들과 이들이

이루는 **sequence** 의 유일함이 **FP** 를 낮게함을 확인할 수 있는 결과이다.

- **FN 분석:** 세가지 어플리케이션 모두 **FN** 를 갖고 있는데, 이는 **signature** 로 탐지하지 못하는 어플리케이션 트래픽이 존재한다는 것을 의미한다. 이러한 **misclassification** 의 원인은 여러 가지가 있을 수 있으나 이에 해당되는 트래픽을 조사해본 결과 다음과 같은 원인에 의한 것이었다. 패킷에 어플리케이션 레벨의 **payload** 가 존재하지 않는 경우, 예를 들어 **TCP** 연결을 위한 **SYN**, **SYN-ACK**, **ACK** 등의 **flag** 만을 갖는 **flow** 는 제대로 분석이 되지 않았다. 또한 트래픽을 수집하는 구간에서 비대칭 라우팅으로 인하여 **signature** 가 존재하는 패킷이 사라진 경우에도 해당 **flow** 를 제대로 분류하지 못하였다. 그리고 어플리케이션 내부에 웹 브라우저가 내장된 경우 트래픽을 발생한 것은 해당 어플리케이션이지만 실제 트래픽은의 순수한 웹 트래픽과 동일하기 때문에 제대로 분류하지 못하는 경우가 발생하였다.
- **OA 분석:** **OA** 는 97.39%로 높았지만 **BitTorrent** 와 **LimeWire** 의 경우 **FN** 이 10%에 가까운 수치를 보였다. 이는 프로토콜 분석으로 **signature** 를 생성한 다른 연구[7]의 결과에서 **Gnutella** 와 **BitTorrent** 의 **FN** 이 각각 4.97%, 9.90%임을 감안할 때에는 높은 정확도를 가지고 있다고 할 수 있다. **LASER** 알고리즘이 생성한 **signature** 는 수작업으로 어플리케이션의 모든 프로토콜을 분석하는 것과 달리 트래픽 수집을 제외한 모든 과정이 자동으로 이루어지는 것을 생각할 때에 이러한 점은 더욱 확실해 진다. 더욱이 [3]에서 **FN** 의 기준으로 삼은 **port** 기반의 트래픽 분류 결과는 **TMA** 와 달리 어플리케이션에서 발생한 일반적인 웹 트래픽은 구분하지 못하기 때문에 오히려 실제보다 더 낮은 **FN** 값을 가질 가능성이 있다.

정확성 검증을 통해 제한적이기는 하지만 **LASER** 알고리즘을 통해 생성된 **signature** 는 수용 가능한 **FN/FP** 를 보이는 정확도를 가지고 있음을 확인할 수 있다. 앞에서 간략히 설명한 **TMA** 를 좀더 많은 클라이언트들에 설치하여 정확도를 측정한다면 좀더 정확한 수치를 확인 할 수 있을 것이다.

표 2 는 **LASER** 를 통해 생성된 어플리케이션의 **signature** 를 보여주고 있다. 우리는 **VoIP**, **P2P**, 인터넷 **TV** 등의 카테고리에서 최소 1 개 이상의 어플리케이션을 선정하여 **signature** 를 생성해 보았다. 앞의 세 어플리케이션을 제외한 **signature** 에 대한 검증은 비교대상이 될만한 기존 결과의 부재로 인해 제시하지 않는다. **Afreeca TV** 와 **PD-BOX** 는 각각 국내에서 많이 사용되는 인터넷 **TV** 와 웹스토리지 어플리케이션이다. 암호화된 패킷 **payload** 를 사용하는 어플리케이션에 대한 **signature** 생성 가능성을 판단하기 위해 **Skype** 와 **KaZaA** 의 **signature** 를 생성해 보았다. 기존에 존재하던 **v1.5** 와 **v2.0** 의 **Skype signature** 는 새로운 버전인 **v3.0** 에서는 더 이상 사용이 불가능 했으며 패킷의 암호화로 인하여 어떠한 패턴도 나타나지 않았다. 암호화된 프로토콜을 사용하는 어플리케이션을 분류하기 위해서는 **signature** 가 아닌 새로운 접근 방법이 필요할 것이다.

## V. 결론

본 연구에서 우리는 수작업을 통한 프로토콜 분석이 나 패킷 분석 없이 자동으로 어플리케이션 **signature** 를

생성할 수 있는 새로운 접근 방법을 소개하였다. 또한 트래픽 분류 결과의 정확도를 판단할 수 있는 새로운 검증 방법을 제시하고 이를 통하여 **LASER** 알고리즘이 사람의 관여 없이 높은 정확도의 **signature** 를 생성한다는 것을 검증하였다. 향후 연구로 주기적으로 트래픽을 수집하고 이를 이용하여 실시간으로 **signature** 를 자동으로 생성하는 **signature** 생성 **agent** 를 개발하여 배포할 예정이며, **signature** 기반의 트래픽 분류 시스템의 활용성과 정확성의 더 많은 검증을 위해 **signature** 데이터베이스를 구축하여 관련 연구 커뮤니티와의 공유를 계획하고 있다.

표 2. **LASER** 를 통해 생성한 어플리케이션 **Signature**

	Automated Signature Generation by LASER
LimeWire	"LimeWire" "Content-Type:" "Content-Length:" "X-Gnutella-Content-URN" "run:sha:1" "X-Alt" "X-Falt" "X-Create-Time:" "X-Features:" "X-Thex-URI"
BitTorrent	"0x13BitTorrent protocol"
Fileguri	"HTTP" "Freechal P2P" "User-Type:" "P2P-ErrorCode:" "Content-Length:" "Content-Type:" "Last-Modified"
FTP	"230 logged"
Afreeca TV	"0x02 02 21 CB 4E 02 00 00 6D DB 00 00", "0x00 00 00 00", "0x7E 00 00"
PDBOX	"0x00 00 01 03 16 05 00 00 08 00 00 00 1E 05 01 03 00 00 00 00 32 00 00 00 57 37 59 5D"
Skype (v3.0)	No signature can be found
KaZaA(v3.25)	"HTTP1.1" "Kazaa client" "X-Kazaa-Username:" "X-Kazaa-Network:" "X-Kazaa-IP:" "X-Kazaa-SupernodeIP:" "X-Kazaa"

## 참고 문헌

- [1] S. Sen and J. Wang. "Analyzing peer-to-peer traffic across large networks," 2002 ACM SIGCOMM Internet Measurement Workshop, Marseilles, France, Nov. 2002.
- [2] K. P. Gummadi, R. J. Dunn, S. Saroiu, S. D. Gribble, H. M. Levy, and J. Zahorjan. "Measurement, modeling, and analysis of a peer-to-peer File-sharing workload," 19th ACM Symposium on Operating Systems Principles (SOSP-19), October 2003
- [3] Thomas Karagiannis, Andre Broido, Michalis Faloutsos, and KC Claffy. "Transport layer identification of p2p traffic," Internet Measurement Conference (IMC), 2004
- [4] W. Scheirer, M. Chuah. "Comparison of Three Sliding-Window Based Worm Signature Generation Schemes," Technical Report LU-CSE-05-025.
- [5] 박병철, 원영준, 김명섭, 홍원기 "자동화된 어플리케이션 레벨의 signature 생성", KNOM 2007.
- [6] Thomas H. Cormen, Charles E. Leiserson, Ronald L. Rivest, and Clifford Stein, Introduction to Algorithms, 2nd Edition, MIT Press, 2001.
- [7] Subhabrata Sen, Oliver Spatscheck, Dongmei Wang. "Accurate, Scalable In-Network Identification of P2P Traffic Using Application Signatures," WWW 2004 Conference.
- [8] Young J. Won, Byung-Chul Park, Hong-Taek Ju, Myung-Sup Kim, and James W. Hong. "A Hybrid Approach for Accurate Application Traffic Identification," IEEE/IFIP E2EMON Workshop, Vancouver, April 2006, pp. 1-8.